303

高圧下のMIG溶接現象 - オス報 -

住友金属 中央技術研究所

海洋開発の進展にともなって注目されてきつつある完全自動化水中溶接シ ステムとして、着着らは乾式水中配筒システム開発の基礎研究を行なってきた。 オ1載⁽¹⁾にあいて20 kg/cm² までの高圧雰囲気下でのMIG 容持現象を検討し 、従来は実用化は困難であると結論がけられていたMIG溶接法による水中配管 溶接施工の可能性の大いにある事を示した。 本報では片面円 間自動溶接で最も 重要である裏皮容辞の問題点について検討し、多層盈り溶接の可能性、上向き溶 接における問題点等についても検討する。

2. 実験方 法

オ1報で報告した 容特実験装置(Photo.1)を用いて、純私雰囲気中で、セ ンター・ガスを流さない方式で溶接を行ない、以下の庚輪を行なった。

い裏波 溶接

溶接条件(溶接电流 电压 速度) , 開失条件(開失角度・ルートフェース・ ルートギャップン、バッキング方式等につい て下向き溶接あるび上向き溶接色行ない、裏 Table 1 Standard condition of 波セード形成への奇子について調べる。 、標準条件はTable.1の通りである。 また、 開先き内でのアーク発生状態を調べる目的で Flg.1に示す測定方法で各位置での見滅分分を 調べた。

四多層溶析

升2層溶接での溶接欠陥の発生状態につい て検討し、初厚ビード上面の平面度と欠陥発生♪ との関係を確認する。

3. 卑職結果と考果

の憂波溶接(下向き)

イ、溶楞雰囲気圧力

アーク現象が雰囲気圧力に大いに影響され 3事は既に報告した。(1)特に裏波溶接にあいて はこの影響は大であり、同一溶接条件で雰囲気 圧力を変化させると、裏波ビードの形成機構が 変化し、アーク溶融型であったものが対流型を 経て熱伝導型へと変化し、それにともない裏波 ビードは減かして行く。これは岩道

Welding speed	30 cm/min
groove angle	60
root face	1.0 mm
root gap	2.5 mm

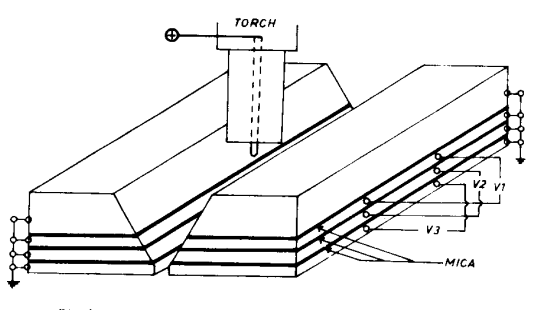
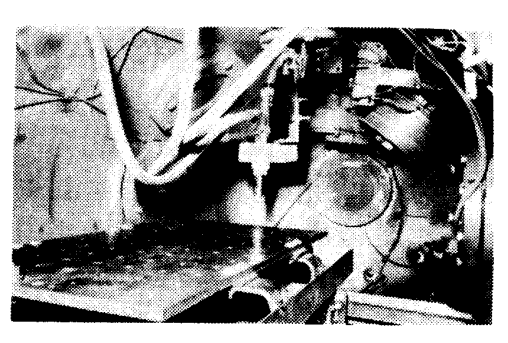


Fig.1 Schematic illustration of current distribution measurement method



Inside view of high pressure chamber for welding experiment

の移行形態の変化が原因となったものである。(Pho to.2)

高圧雰囲気下で安定して良好な裏波容接を行なうためには、短絡移行形態を用い、寒波形成機構としては対流型を用いるのは高い、雰囲気圧力が上昇すると容着金属量も増加するので、雰囲気圧が上昇する。(Photo.3)裏次ビードは雰囲気圧が上昇してもあまり変化している。この理由としては「短絡回数が上昇し、ヌーク時間率は減少するが、ヌークカも同時に上昇する」事が考えられる。

ロ、溶接電流・電圧

電流・電圧の変化は共に容商の移行形態を変える事により主として裏波ピードに影響を与える。 Photo.4 は電流を変えた場合を示しており、電流の増加にともない短絡移行がふえる為、裏波ビードが小さくなり、凹型になってくる。 逆に電流が減るとすーク時間率が上昇し、溶け落ち局

くなる。 Fig.2はルートギャップヒルートフェースの裏波溶接への影響を示したものである。 その他、溶接速度,開先角度,バッキング方式についても報告する。

(2)裏波溶接(上向き)

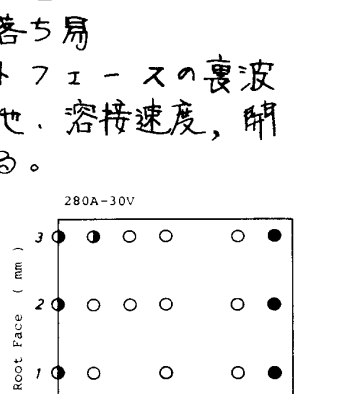
下向きの場合と比べてルートギャップの上限は小さく、ルートフェースの下限は大きくなる。 これは溶着金属の重量バランスがとりにくい事に帰因するが、 短絡移行で対流型の裏波形成機構を用いれば良好な裏波ビードが安定して得られる。

(3)多層盛り溶接

高圧中ではアークカが強い為、凸型ビードの上に溶接を行なっても欠陥が出にくい。 Photo.5はワイヤ位置がずれた場合の一例を示す。

4. 結 言

高圧中での配管溶接法の研究としてMIG溶接現象を研究した結果、対流型裏波形成機構を用い



1 kg/cm A

6 kg/cm

11 kg/cw Ar

Root Gap (mm)
Fig.2
Relation between root face and root gap
on penetration bead formation (O good,
① luck of penetration. ② burn through)



Photo: 2 Effect of ambient pressure openetration head shapes



Photo. 3 Effect of ambient pressure of protectation bead shapes (280), 30), 30 cm/m(n.)



Note: 4 Effect of arc current on penetration bead shapes (30 V. 30 cm/man. II ke/cm. Act.



Photo. 5 Effect of wire position of 2nd layer welding on multilayer weld cross section

短絡移行で溶接を行びえば安定して良好な溶接の行なえる事が判った。 高圧中でのメリットとしては溶接能率の上昇する事(開先断面積の減ケ・溶着量の増大等)が考えるれ、完全自動化容接システム開発の糸口がつかめたし考える。 [文献](1) 伊藤 小泉 山内 香山 : 溶接学会全国大会講演概要(初4集) P172